

重层子模型中介子的衰变过程

丁亦兵 赵光达

(中国科技大学研究生院) (北京大学物理系)

摘要

本文利用重层子模型^[1]中得到的介子B-S波函数讨论介子的轻子型弱衰变、电磁衰变和各种二体强衰变过程。除了解释 $f_\pi \approx f_K$, $1^- \rightarrow l^+l^-$ 等过程外, 计算得到的各种强衰变宽度也都同实验基本符合。

一、引言

文献[1]中提出的介子的重层子模型可以得到与实验符合较好的质量谱。本文将利用该文所求出的B-S波函数来讨论介子的各种衰变过程。人们^[2]注意到, 只有赝标耦合为主的位势才能给出符合介子二体轻子衰变的解^[3]。我们的模型符合这一要求, 因此能自然地解释 $f_\pi \approx f_K$ 及 $1^- \rightarrow l^+l^-$ 等过程。Bohm^[4]等讨论过介子的强衰变过程, 但他们采用的波函数违背PCAC^[5]。我们的任务是统一地解释介子的弱衰变, 电磁衰变, 特别是强衰变过程。

由于在梯形近似下得到的B-S波函数归一化条件对强耦合不再有效, 我们提出了以旁观层子“自能”传播子代替直通传播子的假定, 并在此基础上讨论了波函数归一化和各种衰变过程。关于 $0^{-+} \rightarrow l\bar{\nu}$, $1^{--} \rightarrow l^+l^-$ 以及 $1^{--} \rightarrow 0^{-+}\gamma$ 等过程的计算结果都同实验基本上符合。关于二体强衰变, 我们采用了层子对产生模型(QPCM)^[6]的假定。结果表明, 各种类型的强衰变宽度都与层子裸质量 M 无关, 即满足所谓的超强作用不外露的“饱和性”条件^[4]。所得的数值结果也是比较满意的。

二、波函数的简化形式及其协变化

把文献[1]解得的 $\varphi(\mathbf{p})$ 和 $\varphi_{l=0}^V(\mathbf{p})$ 分别代入该文(2.3)式, 可以求得 0^{-+} 介子的波函数 χ^P 和 1^{--} 介子的波函数 χ^V 。由于层子质量 $M \gg$ 介子质量 m , 且 $M \gg |\mathbf{p}|$, χ^V 和 χ^P 可以简化。又由于 s 层子与 u, d 层子质量相差不大, 在不涉及 D, F 介子的衰变过程中可近似地取 $M_1 = M_2 = M$ 。考虑到这些条件, 很容易证明

$$\chi^P(\mathbf{p}) \approx -\frac{M}{p^2 + M^2} \left[\gamma_5 + \frac{m}{4M} \gamma_4 \gamma_5 \right] g(\mathbf{p}) \quad (2.1)$$

式中 p
这
变化,

为了避
很小,
积分,

通
并将层

当 χ 取

但正如
用。它
同起来
所指出

去 $\frac{\partial G}{\partial P_\mu}$
我们将

、 P_μ
传播子
直通传
“是一
理意义

不

(3.3) 和

$$\chi^v(\mathbf{p}) \approx \frac{M}{p^2 + M^2} \left[\gamma_5 (\mathbf{\gamma} \cdot \mathbf{e}) + \frac{m}{4M} (\mathbf{\gamma} \cdot \mathbf{e}) \right] f(p) \quad (2.2)$$

式中 $p^2 = \mathbf{p}^2 - p_0^2$. 易见, 0^+ 介予以 γ_5 项为主, 而 1^- 介予以 $\gamma_5 (\mathbf{\gamma} \cdot \mathbf{e})$ 项为主.

这两个波函数都是质心系的解. 原则上我们可以通过文献 [7] 指出的手续把它们协变化, 得到

$$\chi^p \approx -\frac{M}{p^2 + M^2} \left(\gamma_5 - \frac{i\hat{p}}{4M} \gamma_5 \right) g(p) \quad (2.3)$$

$$\chi^v \approx -\frac{M}{p^2 + M^2} \left(i \frac{\hat{p}}{m} \hat{e} - \frac{m}{4M} \hat{e} \right) f(p) \quad (2.4)$$

为了避免将 $g(p), f(p)$ 形式上协变化在 p_0 复平面造成反常奇异性^[7] 的困难, 且考虑到 $|\mathbf{p}|$ 很小, 对于含有 $g(p)$ 或 $f(p)$ 的积分采用如下的近似方法: 先计算 $g(p)$ 和 $f(p)$ 的相应积分, 然后把结果按上述手续协变化.

三、波函数的归一化和层子的“自能”传播子

文将利
耦合为
此能自
他们采
别是强
出了以
化和各
同实验
结果表
露的“饱

通常在梯形近似下, 假定层子-反层子相互作用核 $G(p, p'; P)$ 与 P_μ 无关, $\frac{\partial G}{\partial P_\mu} = 0$, 并将层子的传播子近似取为自由传播子, 便得归一化条件

$$\int \frac{d^4 p}{(2\pi)^4} S_p \left\{ \chi_p^+(p) \chi_p(p) \left[H_{-p} + \frac{m}{2} - p_0 \right] \right\} = -2im \quad (3.1)$$

当 χ 取为 M 很大的近似波函数时, 上式可简化为

$$M \int \frac{d^4 p}{(2\pi)^4} S_p \{ \chi_p^+(p) \chi_p(p) \gamma_5 \} = -2im \quad (3.2)$$

但正如人们^[8] 所指出的, 重层子模型中的超强相互作用代表层子之间十分复杂的相互作用. 它象口袋模型一样, 很可能是对某种整体相互作用的近似描述, 不能同梯形近似等同起来. 事实上, 在强耦合情形下应用梯形近似^[8] 会导致鬼态的出现. 此外, 正如文献^[3] 所指出的, 瞬时相互作用不是一个协变的概念, 相互作用核 G 必然与 P_μ 有关, 不能随意略去 $\frac{\partial G}{\partial P_\mu}$ 项来求归一化. 所以 (3.1) 和 (3.2) 式对瞬时相互作用下的强耦合模型不再有效.

我们将从某些物理假定出发, 来考虑归一化问题.

Preparata^[9] 在他的重夸克模型中建议用一种带有“自能”顶点的夸克传播子代替直通传播子来计算强子的衰变过程. 与此类似, 我们假定在任何强子跃迁过程中, 旁观层子的直通传播子均为“自能”传播子代替, 即对旁观层子把 $S_F(p)$ 换为 $S_F(p)(2\pi)^4 a S_F(p)$, 其中 a 是一个具有质量量纲的普适参量. 我们将在下面通过电荷归一化来说明这一假定的物理意义.

不难看出(参看图 3), 在这一假定下介子的电荷归一化条件变为

$$a \int \frac{d^4 p}{(2\pi)^4} S_p [\chi_p^+(p) \chi_p(p) \gamma_5] = -2im \quad (3.3)$$

(3.3) 和 (3.2) 的区别仅仅在于把裸质量 M 换成 a . 后面我们将看到 a 的大小约为几百

MeV，因而在一定程度上可把 a 看作旁观层子在位阱中的等效质量。当其中一个层子同外场作用时，另一旁观层子同该层子仍由超强相互作用束缚在一起，它不是以裸质量而是以某种很小的等效质量对外场作出反应。这就是“自能”传播子的物理意义。此外，也可以象文献 [9] 那样，把 a 理解为层子由一个强子跃迁到另一个强子的几率。

把 (2.1) 和 (2.2) 代入 (3.3)，便可得到

$$g(\mathbf{p}) = \left(\frac{8M^2\pi^2}{a} \right)^{\frac{1}{2}} \psi(\mathbf{p}) \quad (3.4)$$

$$f(\mathbf{p}) = \left(\frac{8M^2\pi^2}{a} \right)^{\frac{1}{2}} \phi(\mathbf{p}) \quad (3.5)$$

其中 $\psi(\mathbf{p})$ 是满足归一化条件 $\int |\psi(\mathbf{p})|^2 d^3 p = 1$ 的三维波函数。按文献 [1]，在大多数情况下，我们将把 $\psi(\mathbf{p})$ 取为谐振子波函数。

四、 $1^{--} \rightarrow e^+e^-$ 过程

该过程如图 1 所示。矩阵元为

$$M_{if} = \frac{i}{(2\pi)^4} \frac{e_0 e^2}{m^2} j_\mu \int d^4 p S_P \{ \chi^\nu(p) \gamma_\mu \} \quad (4.1)$$

其中 e 为电子电荷， $e_0 e$ 为介子等效电荷， j_μ 为轻子电流。把 (2.2) 的 χ^ν 代入 (4.1)，可以求得衰变宽度为

$$\Gamma_{1^{--} \rightarrow e^+e^-} = \frac{1}{24\pi^2} \frac{\alpha^2 e_0^2}{m M^2} |f(0)|^2 = \frac{\alpha^2 e_0^2}{3am} |\psi(0)|^2 \quad (4.2)$$

其中 $\psi(0)$ 为三维归一化空间波函数的零点值。与上式不同，通常弱束缚非相对论给出的宽度^[10]与 m 的平方成反比。对基态的谐振子波函数^[11]有

$$|\psi(0)|^2 = \frac{4}{\sqrt{\pi}} \left(\frac{1}{8\alpha'} \right)^{3/2} \quad (4.3)$$

式中 α' 为 Regge 斜率。代入 (4.2)，由 $\rho \rightarrow e^+e^-$ 的衰变宽度可以定出

$$\alpha' = 178 \text{ MeV} \quad (4.4)$$

利用它可以计算出其它介子的衰变宽度，结果如表 1 所示。其

表 1 $\Gamma_{e^+e^-}$ 的理论值与实验值^[11]

(其中 $1/\alpha'$ 取自文献 [1]， γ 的相应值是假定 $m_b = 3m_e$ 计算得到的。)

介子	m (GeV)	e_0^2	$1/\alpha'$ (GeV 2)	Γ 理论值 (keV)	Γ 实验值 (keV)
ρ	0.776	1/2	1.00	6.5*(输入)	6.5 ± 0.8
ω	0.783	1/18	1.00	0.72	0.76 ± 0.17
ϕ	1.020	1/9	1.28	1.57	1.34 ± 0.08
ψ	3.097	4/9	2.19	4.64	4.8 ± 0.6
γ	9.433	1/9	3.80	0.87	1.24 ± 0.13 ^[12]

图 1 $1^{--} \rightarrow e^+e^-$

图 2 $1^{--} \rightarrow e^+e^-$

图 3 $1^{--} \rightarrow e^+e^-$

图 4 $1^{--} \rightarrow e^+e^-$

图 5 $1^{--} \rightarrow e^+e^-$

图 6 $1^{--} \rightarrow e^+e^-$

图 7 $1^{--} \rightarrow e^+e^-$

图 8 $1^{--} \rightarrow e^+e^-$

图 9 $1^{--} \rightarrow e^+e^-$

图 10 $1^{--} \rightarrow e^+e^-$

图 11 $1^{--} \rightarrow e^+e^-$

图 12 $1^{--} \rightarrow e^+e^-$

图 13 $1^{--} \rightarrow e^+e^-$

图 14 $1^{--} \rightarrow e^+e^-$

图 15 $1^{--} \rightarrow e^+e^-$

图 16 $1^{--} \rightarrow e^+e^-$

图 17 $1^{--} \rightarrow e^+e^-$

图 18 $1^{--} \rightarrow e^+e^-$

图 19 $1^{--} \rightarrow e^+e^-$

图 20 $1^{--} \rightarrow e^+e^-$

图 21 $1^{--} \rightarrow e^+e^-$

图 22 $1^{--} \rightarrow e^+e^-$

图 23 $1^{--} \rightarrow e^+e^-$

图 24 $1^{--} \rightarrow e^+e^-$

图 25 $1^{--} \rightarrow e^+e^-$

图 26 $1^{--} \rightarrow e^+e^-$

图 27 $1^{--} \rightarrow e^+e^-$

图 28 $1^{--} \rightarrow e^+e^-$

图 29 $1^{--} \rightarrow e^+e^-$

图 30 $1^{--} \rightarrow e^+e^-$

图 31 $1^{--} \rightarrow e^+e^-$

图 32 $1^{--} \rightarrow e^+e^-$

图 33 $1^{--} \rightarrow e^+e^-$

图 34 $1^{--} \rightarrow e^+e^-$

图 35 $1^{--} \rightarrow e^+e^-$

图 36 $1^{--} \rightarrow e^+e^-$

图 37 $1^{--} \rightarrow e^+e^-$

图 38 $1^{--} \rightarrow e^+e^-$

图 39 $1^{--} \rightarrow e^+e^-$

图 40 $1^{--} \rightarrow e^+e^-$

图 41 $1^{--} \rightarrow e^+e^-$

图 42 $1^{--} \rightarrow e^+e^-$

图 43 $1^{--} \rightarrow e^+e^-$

图 44 $1^{--} \rightarrow e^+e^-$

图 45 $1^{--} \rightarrow e^+e^-$

图 46 $1^{--} \rightarrow e^+e^-$

图 47 $1^{--} \rightarrow e^+e^-$

图 48 $1^{--} \rightarrow e^+e^-$

图 49 $1^{--} \rightarrow e^+e^-$

图 50 $1^{--} \rightarrow e^+e^-$

图 51 $1^{--} \rightarrow e^+e^-$

图 52 $1^{--} \rightarrow e^+e^-$

图 53 $1^{--} \rightarrow e^+e^-$

图 54 $1^{--} \rightarrow e^+e^-$

图 55 $1^{--} \rightarrow e^+e^-$

图 56 $1^{--} \rightarrow e^+e^-$

图 57 $1^{--} \rightarrow e^+e^-$

图 58 $1^{--} \rightarrow e^+e^-$

图 59 $1^{--} \rightarrow e^+e^-$

图 60 $1^{--} \rightarrow e^+e^-$

图 61 $1^{--} \rightarrow e^+e^-$

图 62 $1^{--} \rightarrow e^+e^-$

图 63 $1^{--} \rightarrow e^+e^-$

图 64 $1^{--} \rightarrow e^+e^-$

图 65 $1^{--} \rightarrow e^+e^-$

图 66 $1^{--} \rightarrow e^+e^-$

图 67 $1^{--} \rightarrow e^+e^-$

图 68 $1^{--} \rightarrow e^+e^-$

图 69 $1^{--} \rightarrow e^+e^-$

图 70 $1^{--} \rightarrow e^+e^-$

图 71 $1^{--} \rightarrow e^+e^-$

图 72 $1^{--} \rightarrow e^+e^-$

图 73 $1^{--} \rightarrow e^+e^-$

图 74 $1^{--} \rightarrow e^+e^-$

图 75 $1^{--} \rightarrow e^+e^-$

图 76 $1^{--} \rightarrow e^+e^-$

图 77 $1^{--} \rightarrow e^+e^-$

图 78 $1^{--} \rightarrow e^+e^-$

图 79 $1^{--} \rightarrow e^+e^-$

图 80 $1^{--} \rightarrow e^+e^-$

图 81 $1^{--} \rightarrow e^+e^-$

图 82 $1^{--} \rightarrow e^+e^-$

图 83 $1^{--} \rightarrow e^+e^-$

图 84 $1^{--} \rightarrow e^+e^-$

图 85 $1^{--} \rightarrow e^+e^-$

图 86 $1^{--} \rightarrow e^+e^-$

图 87 $1^{--} \rightarrow e^+e^-$

图 88 $1^{--} \rightarrow e^+e^-$

图 89 $1^{--} \rightarrow e^+e^-$

图 90 $1^{--} \rightarrow e^+e^-$

图 91 $1^{--} \rightarrow e^+e^-$

图 92 $1^{--} \rightarrow e^+e^-$

图 93 $1^{--} \rightarrow e^+e^-$

图 94 $1^{--} \rightarrow e^+e^-$

图 95 $1^{--} \rightarrow e^+e^-$

图 96 $1^{--} \rightarrow e^+e^-$

图 97 $1^{--} \rightarrow e^+e^-$

图 98 $1^{--} \rightarrow e^+e^-$

图 99 $1^{--} \rightarrow e^+e^-$

图 100 $1^{--} \rightarrow e^+e^-$

图 101 $1^{--} \rightarrow e^+e^-$

图 102 $1^{--} \rightarrow e^+e^-$

图 103 $1^{--} \rightarrow e^+e^-$

图 104 $1^{--} \rightarrow e^+e^-$

图 105 $1^{--} \rightarrow e^+e^-$

图 106 $1^{--} \rightarrow e^+e^-$

图 107 $1^{--} \rightarrow e^+e^-$

图 108 $1^{--} \rightarrow e^+e^-$

图 109 $1^{--} \rightarrow e^+e^-$

图 110 $1^{--} \rightarrow e^+e^-$

图 111 $1^{--} \rightarrow e^+e^-$

图 112 $1^{--} \rightarrow e^+e^-$

图 113 $1^{--} \rightarrow e^+e^-$

图 114 $1^{--} \rightarrow e^+e^-$

图 115 $1^{--} \rightarrow e^+e^-$

图 116 $1^{--} \rightarrow e^+e^-$

图 117 $1^{--} \rightarrow e^+e^-$

图 118 $1^{--} \rightarrow e^+e^-$

图 119 $1^{--} \rightarrow e^+e^-$

图 120 $1^{--} \rightarrow e^+e^-$

图 121 $1^{--} \rightarrow e^+e^-$

图 122 $1^{--} \rightarrow e^+e^-$

图 123 $1^{--} \rightarrow e^+e^-$

图 124 $1^{--} \rightarrow e^+e^-$

图 125 $1^{--} \rightarrow e^+e^-$

图 126 $1^{--} \rightarrow e^+e^-$

图 127 $1^{--} \rightarrow e^+e^-$

图 128 $1^{--} \rightarrow e^+e^-$

图 129 $1^{--} \rightarrow e^+e^-$

图 130 $1^{--} \rightarrow e^+e^-$

图 131 $1^{--} \rightarrow e^+e^-$

图 132 $1^{--} \rightarrow e^+e^-$

图 133 $1^{--} \rightarrow e^+e^-$

图 134 $1^{--} \rightarrow e^+e^-$

图 135 $1^{--} \rightarrow e^+e^-$

图 136 $1^{--} \rightarrow e^+e^-$

图 137 $1^{--} \rightarrow e^+e^-$

图 138 $1^{--} \rightarrow e^+e^-$

图 139 $1^{--} \rightarrow e^+e^-$

图 140 $1^{--} \rightarrow e^+e^-$

图 141 $1^{--} \rightarrow e^+e^-$

图 142 $1^{--} \rightarrow e^+e^-$

图 143 $1^{--} \rightarrow e^+e^-$

图 144 $1^{--} \rightarrow e^+e^-$

图 145 $1^{--} \rightarrow e^+e^-$

图 146 $1^{--} \rightarrow e^+e^-$

图 147 $1^{--} \rightarrow e^+e^-$

图 148 $1^{--} \rightarrow e^+e^-$

图 149 $1^{--} \rightarrow e^+e^-$

图 150 $1^{--} \rightarrow e^+e^-$

图 151 $1^{--} \rightarrow e^+e^-$

图 152 $1^{--} \rightarrow e^+e^-$

图 153 $1^{--} \rightarrow e^+e^-$

图 154 $1^{--} \rightarrow e^+e^-$

图 155 $1^{--} \rightarrow e^+e^-$

图 156 $1^{--} \rightarrow e^+e^-$

图 157 $1^{--} \rightarrow e^+e^-$

图 158 $1^{--} \rightarrow e^+e^-$

图 159 $1^{--} \rightarrow e^+e^-$

图 160 $1^{--} \rightarrow e^+e^-$

图 161 $1^{--} \rightarrow e^+e^-$

图 162 $1^{--} \rightarrow e^+e^-$

图 163 $1^{--} \rightarrow e^+e^-$

图 164 $1^{--} \rightarrow e^+e^-$

图 165 $1^{--} \rightarrow e^+e^-$

图 166 $1^{--} \rightarrow e^+e^-$

层子同
量而是
外, 也可

中 $\Gamma_{e^+e^-}(\gamma)$ 计算值与实验值的偏离, 说明对重介子特别是 $b\bar{b}$ 系统, 谐振子势不再是好的近似。在对 Ψ' , Υ' 等的 $\Gamma_{e^+e^-}$ 计算上这一点将更加突出地显示出来。

五、 $0^{-+} \rightarrow \mu\bar{\nu}$ 过程

(3.4) $\pi \rightarrow \mu\bar{\nu}$ 衰变过程如图 2 所示。矩阵元为

$$(3.5) M_{if} = \frac{1}{(2\pi)^4} \left(\frac{G}{\sqrt{2}} \cos \theta \right) \bar{u}(q_1) \gamma_\mu (1 + \gamma_5) v(q_2) \int d^4 p S_p [\gamma_\mu (1 + R\gamma_5) \chi^p] \quad (5.1)$$

其中 θ 为 Cabibbo 角。 R 是一个常数, 可由朴素夸克模型定出 $R = 3G_A/5G_V \approx \frac{1}{\sqrt{2}}$ ^[3]。 $K \rightarrow \mu\bar{\nu}$ 矩阵元与 (5.1) 式只区

别于以 $\sin \theta$ 代替 $\cos \theta$ 。

不难看出, 对上式作出贡献的只是波函数 χ^p 中的 $\gamma_\mu \gamma_5$ 项。由 (2.1) 知, 此项与 m 成正比。由此可按

$$\langle 0 | J_\mu^W(0) | \pi \rangle = f_\pi \cos \theta P_\mu,$$

求得弱耦合常数

$$(4.1) f_\pi = \frac{R}{2\sqrt{\pi a}} \phi(0) \approx \frac{1}{4(2\pi)^{3/4} \sqrt{a}} \left(\frac{1}{\alpha'_\pi} \right)^{3/4} \quad (5.2)$$

1), 可以

代入 (4.4) 式便得到 $f_\pi \approx 150$ MeV (实验值 ~ 138 MeV^[11])。类似地可以求得 f_K 。易证

$$f_K/f_\pi \approx (\alpha'_\pi/\alpha'_K)^{3/4} \approx 1.13 \quad (\text{实验值 } \sim 1.15^{[11]})$$

事实上, 通过 (4.2) 式和 (5.2) 式, 可以消去零点波函数和参数 a , 得到联系弱衰变和电磁衰变的 Kawarabayashi-Suzuki 关系式^[3] $2\gamma_\rho f_\pi = m_\rho$ 。通常的非相对论夸克模型得不到这一结果, 这正是本模型的一个成功之点。

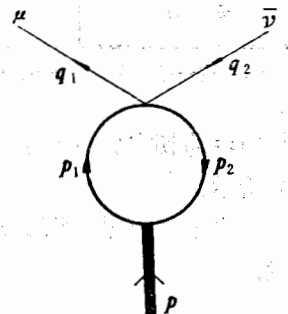


图 2 $0^{-+} \rightarrow \mu\bar{\nu}$

六、 $1^{--} \rightarrow 0^{-+} \gamma$ 过程

(4.3) 此过程如图 3 所示, 其中旁观层子取了“自能”传播子。矩阵元为

$$(4.4) M_{if} = a \langle D \rangle e \int \frac{d^4 p}{(2\pi)^4} S_p \left\{ \bar{\chi}_{p'}(p') \left[\hat{\epsilon} - \frac{\kappa}{2M} \sigma_{\mu\nu} q_\mu \epsilon_\nu \right] \chi_p(p) \right\} \quad (6.1)$$

其中 ϵ_ν 为光子的极化矢量, $e_\nu \kappa / 2M$ 为层子的反常磁矩, $\langle D \rangle$ 为电荷算符 Ω 的 $SU(3)$ ($SU(4)$) 矩阵元^[3]。

把 $\bar{\chi}_{p'}(p') = -\gamma_4 \chi_{p'}^+(p') \gamma_4$ ^[3] 以及 (2.3) 和 (2.4) 式代入 (6.1) 可得

$$(4.5) M_{if} = \frac{i a \langle D \rangle e}{4M^2} \epsilon_{ijk} \epsilon_i q_j \epsilon_k \int \frac{d^3 p}{(2\pi)^3} g \left(\mathbf{p} - \frac{\mathbf{q}}{2} \right) f(\mathbf{p}) (1 + 2\kappa) \quad (6.2)$$

衰变宽度为

$$(4.6) \Gamma = \frac{\langle D \rangle^2 a}{3} (1 + 2\kappa)^2 \frac{q^3}{m^2} e^{-q^2 a'} \quad (6.3)$$

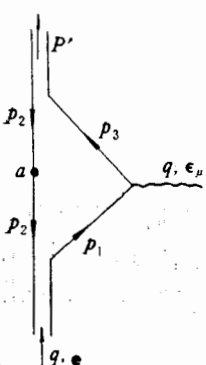


图 3 $1^{--} \rightarrow 0^{-+} \gamma$

表 2 $1^{--} \rightarrow 0^{-+}\gamma$ 衰变宽度值

衰变过程	$\langle D \rangle$	$\kappa = 0$ 时 Γ 理论值 (keV)	$\kappa = 0.2$ 时 Γ 理论值 (keV)	Γ 实验值 (keV)	衰变模
$\rho^- \rightarrow \pi^-\gamma$	1/3	20.6	40.4	37 ± 10	$1^{--} \rightarrow 0^{++}$
$\kappa^0 \rightarrow \kappa^0\gamma$	-2/3	36.5	71.5	75 ± 35	
$\omega \rightarrow \pi^0\gamma$	1	188.4	369.3	889 ± 50	
$\varphi \rightarrow \eta\gamma$	$\frac{1}{3}\sqrt{8/3}$	28.9	56.6	64 ± 8	
$\phi' \rightarrow \eta_c\gamma^{(1)}$	4/3	0.5	1.0	$0.92 \pm 0.17^{(12)}$	$1^{+-} \rightarrow 1^{--}$
$\phi \rightarrow \eta_c\gamma$	4/3	0.8	1.6	$0.24 - 2.4^{(12)}$	$1^{++} \rightarrow 1^{--}$

1) 这一过程的宽度是由径向激发谱振子波函数计算得到的。

其中 m 为初态矢量介子质量, q 为光子动量, α' 为 Regge 斜率。理论与实验的比较如表 2 所示。

由上表可见, 当取 $\kappa = 0.2$ 时, Γ 的理论值与实验值的符合 (除 $\omega \rightarrow \pi^0\gamma$ 外) 比较满意。

七、二体强衰变过程

该过程如图 4 所示。首先我们把层子对产生模型^[6]推广到相对论情况。由于真空中产生的层子对是在 3P_0 态, 所以我们假定这个顶点的耦合强度正比于 $b\hat{k}$, 其中 b 为一个普适的无量纲耦合常数, $\hat{k} = \gamma_\mu k_\mu$, k_μ 为产生的粒子的动量。此外, 对旁观层子采用“自能”传播子。于是:

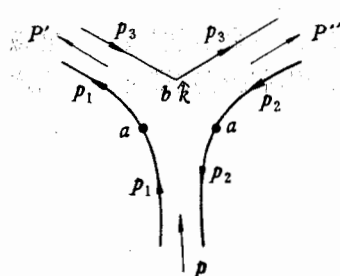


图 4 介子的二体强衰变

$$M_{ij} = \frac{a^2 b}{(2\pi)^4} \int d^4 p S_P \{ \bar{\chi}_{P'}(p') \hat{k} \bar{\chi}_{P''}(p'') \chi_P(p) \}$$

• (SU(3) 因子) (7.1)

其中各动量的意义如图 4 所示, 它们的运动学关系为

$$P = P' + P'',$$

$$p_1 = p + \frac{P}{2} = p'' + \frac{P''}{2}, \quad p_2 = p - \frac{P}{2} = p' - \frac{P'}{2},$$

$$p_3 = p' + \frac{P''}{2} = p'' - \frac{P''}{2}, \quad k = p_3 = p + \frac{1}{2}(P' - P'').$$

不同的衰变过程区别在于波函数的具体形式和 SU(3) 因子的数值不同。参数 b 的值由 $\rho \rightarrow \pi\pi$ 或 $\varphi \rightarrow K\bar{K}$ 作输入来定。需要特别指出的是, 由于 M 非常大, 计算 Γ 时只须保留最大量级的贡献即可。我们发现, 求得的各种衰变宽度都与 M 无关, 即满足所谓超强作用的饱和性^[4], 这正是我们希望得到的结果。

附录中给出了普通介子各种强衰变宽度的计算公式。数值结果列在表 3, 同实验的符合是比较满意的。关于 ϕ 族粒子的强衰变, 我们将在另文专门讨论。

本文
了胡宁先
表示感谢

取初态
的粒子质量
(1) 1-

(2) 1-

(3) 1+

(4) 1+

表3 普通介子二体强衰变宽度(*为输入值)

(keV)	衰变模式	衰变道	c	Γ 理论值 I(MeV) (以 $\rho \rightarrow K\bar{K}$ 为输入)	Γ 理论值 II(MeV) (以 $\rho \rightarrow \pi\pi$ 为输入)	实验值 ^[14] (MeV)
0	$1^{--} \rightarrow 0^{++} 0^{+-}$	$\rho \rightarrow \pi\pi$	$\sqrt{2}$	120.6 3.43* ($b^2 a = 95.51$)	158* ($b^2 a = 125.2$)	158 ± 5
5		$\varphi \rightarrow KK$	1		4.5	3.43 ± 0.20
0		$K^* \rightarrow K\pi$	1	46.82	60.14	50.3 ± 0.8
		$\rho' \rightarrow \pi\pi$	$\sqrt{2}$	87.05	114.1	45
17 ^[12]	$1^{+-} \rightarrow 1^{--} 0^{+-}$	$B \rightarrow \omega\pi$	$\sqrt{2}$	138.2	181.1	129 ± 10
4 ^[13]	$1^{++} \rightarrow 1^{--} 0^{+-}$	$A_1 \rightarrow \rho\pi$	$\sqrt{2}$	401.9	527.3	270 ± 45
				8.55	11.21	< 10
	$2^{++} \rightarrow 0^{++} 0^{+-}$	$f \rightarrow \pi\pi$	$\sqrt{2}$	119.1	156.0	148 ± 16
较如表		$f' \rightarrow KK$	1	33.74	44.21	67 ± 10
比较满		$K^{**} \rightarrow K\pi$	1	47.10	61.73	49.1 ± 5.2
	$2^{++} \rightarrow 1^{--} 0^{+-}$	$A_2 \rightarrow \rho\pi$	$\sqrt{2}$	50.02	65.55	71.4 ± 4.2
		$K^{**} \rightarrow K^*\pi$	1	19.88	26.05	27.0 ± 3.5

本文的一部分内容是在张凯慈同志的合作下完成的。此外，在本文写作过程中得到了胡宁先生的关注，并与何祚庥、高崇寿、宋行长、朱重远等同志进行了有益的讨论，特此表示感谢。

真空产
约耦合
常数，
观层子

附录：二体强衰变宽度公式

取初态介子静止系。设 m 为初态介子质量。末态介子中，自旋不为零的粒子的质量和能量为 m' 和 E' ，自旋为零的粒子质量和能量为 m'' 和 E'' 。 P' 为末态粒子的动量值。 $(c)^2$ 为 $SU(3)$ 系数的贡献。 α' 为 Regge 斜率。

(1) $1^{--} \rightarrow 0^{++} + 0^{+-}$ (1^{--} 为基态。如 $\rho \rightarrow \pi\pi$)

$$(7.1) \quad \Gamma = (c)^2 b^2 a \frac{2 \sqrt[3]{2\pi}}{3^4} P'^3 \cdot \alpha'^{\frac{3}{2}} e^{-\frac{4}{3} P'^2 \alpha'} \quad (A.1)$$

系为

(2) $1^{--} \rightarrow 0^{++} + 0^{+-}$ (1^{--} 为第一径向激发态，如 $\rho' \rightarrow \pi\pi$)

$$\Gamma = (c)^2 b^2 a \frac{2 \sqrt[3]{2\pi}}{3^3} P'^3 \alpha'^{\frac{5}{2}} \left[\frac{2}{3} - \frac{16}{27} P'^2 \alpha' \right] e^{-\frac{4}{3} P'^2 \alpha'} \quad (A.2)$$

(3) $1^{+-} \rightarrow 1^{--} + 0^{+-}$ (1^{+-} 为 $0^{+-} L=1$ 的激发态。如 $B \rightarrow \omega\pi$)

$$\begin{aligned} \Gamma &= (c)^2 b^2 a \frac{2 \sqrt[3]{2\pi}}{3^4} P' \alpha'^{\frac{1}{2}} \left\{ 3 \left(\frac{E'}{m'} \right)^2 + \left[\left(\frac{E'}{m'} \right)^2 - 2 \frac{E'}{m'} - \frac{32}{3} m'E' \alpha' \right] \frac{P'^4}{m'^2} \right. \\ &\quad \left. + \left(\frac{m}{m'} + \frac{16}{3} mm' \alpha' \right) \left(\frac{m}{m'} + \frac{16}{3} mm' \alpha' - \frac{2mE'}{m'^2} \right) \frac{P'^4}{m'^2 m^2} \right. \\ &\quad \left. + \left(\frac{m}{m'} + \frac{16}{3} mm' \alpha' \right) \frac{2P'^6}{m'^4 m^2} \right\} e^{-\frac{4}{3} P'^2 \alpha'} \end{aligned} \quad (A.3)$$

(4) $1^{++} \rightarrow 1^{--} + 0^{+-}$ (1^{++} 为 1^{--} 介子 $L=1$ 的激发态，如 $A_1 \rightarrow \rho\pi$) S 分波宽度

$$\begin{aligned} \Gamma_S &= (c)^2 b^2 a \frac{4 \sqrt[3]{2\pi}}{9} P' \alpha'^{\frac{1}{2}} \left[1 + \frac{P'^2}{3m'^2} \right] \left[1 + \frac{2E'}{m'} \left(1 + \frac{E''}{m} \right) \right. \\ &\quad \left. - \left(\frac{2}{3} \frac{m'}{m} + \frac{1}{2} \frac{E''}{m'} \right) \cdot 16P'^2 \alpha' \right]^2 e^{-\frac{4}{3} P'^2 \alpha'} \end{aligned} \quad (A.4)$$

b 的值
只须保
超强作

验的符

D分波宽度

$$\Gamma_D = (c)^2 b^2 a \frac{2\sqrt[3]{2\pi}}{3^4} P' \alpha'^{3/2} \left(1 + \frac{P'^2}{m'^2}\right) \left[\frac{4}{3} \frac{m'}{m} + \frac{E''}{m'} - \frac{1}{4m'^2 \alpha'} \left(1 + \frac{E''}{m}\right)\right]^2 e^{-\frac{4}{3} P'^2 \alpha'} \quad (\text{A.5})$$

(5) $2^{++} \rightarrow 0^{+-} + 0^{+-}$ (2^{++} 为 1^- 介子 $L=1$ 的激发态, 如 $f \rightarrow \pi\pi$)

$$\Gamma = (c)^2 b^2 a \frac{2\sqrt[14]{2\pi}}{5 \times 3^6} P' \alpha'^{\frac{5}{2}} e^{-\frac{4}{3} P'^2 \alpha'} \quad (\text{A.6})$$

(6) $2^{++} \rightarrow 1^- + 0^{+-}$ (2^{++} 为 1^{--} 介子 $L=1$ 的激发态, 如 $A_2 \rightarrow \rho\pi$)

$$\Gamma = (c)^2 b^2 a \frac{2\sqrt[9]{2\pi}}{5 \times 3^3} P' \alpha'^{\frac{5}{2}} \left[\frac{7}{12} \frac{m}{m'} + \frac{7}{12} \frac{m'^2}{mm'} + \frac{9}{12} \frac{m'}{m} + \frac{1}{4mm' \alpha'}\right]^2 e^{-\frac{4}{3} P'^2 \alpha'} \quad (\text{A.7})$$

参 考 文 献

- [1] 丁亦兵、赵光达, 中国科学, A9(1982), 841.
- [2] 朱重远、安瑛, 中国科学, 4(1978), 387.
- [3] C. H. Llewellyn Smith, *Ann. Phys.*, 53(1969), 521.
- [4] M. Böhm, H. Joos, M. Krammer, *Nucl. Phys.*, B51(1973), 397; ibid. B69(1974), 349.
- [5] H. Loos, in "Quarks and Hadronic Structure", P203, Edited by G. Morpurgo.
- [6] A. Le Yaouanc et al., *Phys. Rev.*, D8(1973), 2223, *Phys. Lett.*, 71B(1977), 397; R. Carlitz and M. Kislinger, *Phys. Rev.*, D2(1970), 336.
- [7] 北京大学基本粒子理论组, 物理学报, 25(1976), 415.
- [8] G. Wanders, *Phys. Lett.*, 58B(1975), 191.
- [9] G. Preparata, *Nucl. Phys.*, B102(1976), 478; EPS 国际高能物理会论文集 (1979, Geneva).
- [10] R. Van Royen and V. F. Weisskopf, *Nuo. Cim.*, 3A(1967), 617.
- [11] J. D. Jackson, 新粒子讲义 (基本粒子译文集第一集) P. 1.
- [12] D. L. Scharre, SLAC-PUB-2761 (1981).
- [13] 北京大学, 理论物理教研室基本粒子组, 中国科学院数学研究所理论物理研究室, 北京大学学报 (自然科学版), 2(1966), 113.
- [14] "Review of Particle Properties", April, 1980 ed. 本文的实验数据除特殊标明出处外, 均取自该文.

DECAY PROCESSES IN MASSIVE STRATON MODEL
OF MESONS

DING YI-BING

(Graduate School, The University of Science and Technology of China)

CHAO KUANG-TA

(Peking University)

ABSTRACT

Using the B-S wave functions of mesons in the massive straton model^[1], we discuss their weak decay, electromagnetic decay, and particularly hadronic decay processes. Not only $f_s \approx f_K, 1^- \rightarrow 1^+ 1^-$ rate are successfully explained, the predicted widths for various hadronic decays are also in good agreement with experimental data.